

تشخيص الترب المتأثرة بالملوحة و الصودية باستخدام التنبؤ المكاني في ناحية الكوثر

طيبة مظفر صالح

سامر محي طه

كلية الزراعة / جامعة القاسم الخضراء

الملخص

تهدف هذه الدراسة الى استخدام التنبؤ المكاني في تشخيص ملوحة و صودية التربة في ناحية الكوثر (جبلة) في شمال محافظة بابل وسط العراق . ان دقة اعداد خارطة الملوحة و نسبة امتزاز الصوديوم و النسبة المئوية للصوديوم المتبادل في التربة بلغت 0.9485 و 0.9747 و 0.983 لكل من هذه المؤشرات الثلاثة على التوالي . و بينت الخرائط الناتجة ان 6.15% من مساحة منطقة الدراسة ترب غير مملحة و 37.26% من مساحة ترب منطقة الدراسة ترب غير متأثرة بالصوديوم الممتر و 29.75% من مساحة ترب منطقة الدراسة غير بالنسبة المئوية للصوديوم المتبادل .

Saline and sodicity affected soil by Kriging in the Al-Kuther district

Abstract

The aim of this study Variogram using to Diagnosis for soil salinity and sodicity diagnosis Al-Kuther (Jabbalah) district in the northern part of Babylon Province, where soil salinity , SAR and ESP% mapping accuracy , with high significantly R^2 : 0.9485 , 0.9747 and 0.983 for each its respectively . These maps products appear that 6.15% of study area non salinity soils , 37.26% of study area unaffected by SAR and 29.75% of study area unaffected by ESP% .

في اعداد خرائط ملوحة و صودية التربة و وضع اهميتها الارشادية للمراكم البحثية و المزارعين و بيان التوزيع المكاني لاصناف مؤشرات ملوحة و صودية التربة بغية ايجاد الحلول لایقاف مخاطر التصحر الملحي الزاحف بقوة نحو الترب الزراعية في العالم . و اعتمد طه و اخرون ، 2015 التنبؤ المكاني الاعتيادي Ordinary Kriging في اعداد خرائط لملوحة و صودية التربة في الجزء الشرقي من محافظة بابل كمؤشرات لحالة التدهور الكيميائي في تلك الترب و اوصوا بضرورة تبني هذا الاسلوب في اعداد خرائط هذه الصفات لدقته العالية في تشخيص ملوحة و صودية التربة . لذا تهدف هذه الدراسة الى تشخيص اصناف الترب المتأثرة بالتل محل و الصودية في ناحية الكوثر (جبلة) شمال محافظة بابل وسط العراق باستخدام التنبؤ المكاني و باسلوب التنبؤ المكاني الاعتيادي . Ordinary Kriging

المواد و طرائق العمل

1. منطقة الدراسة

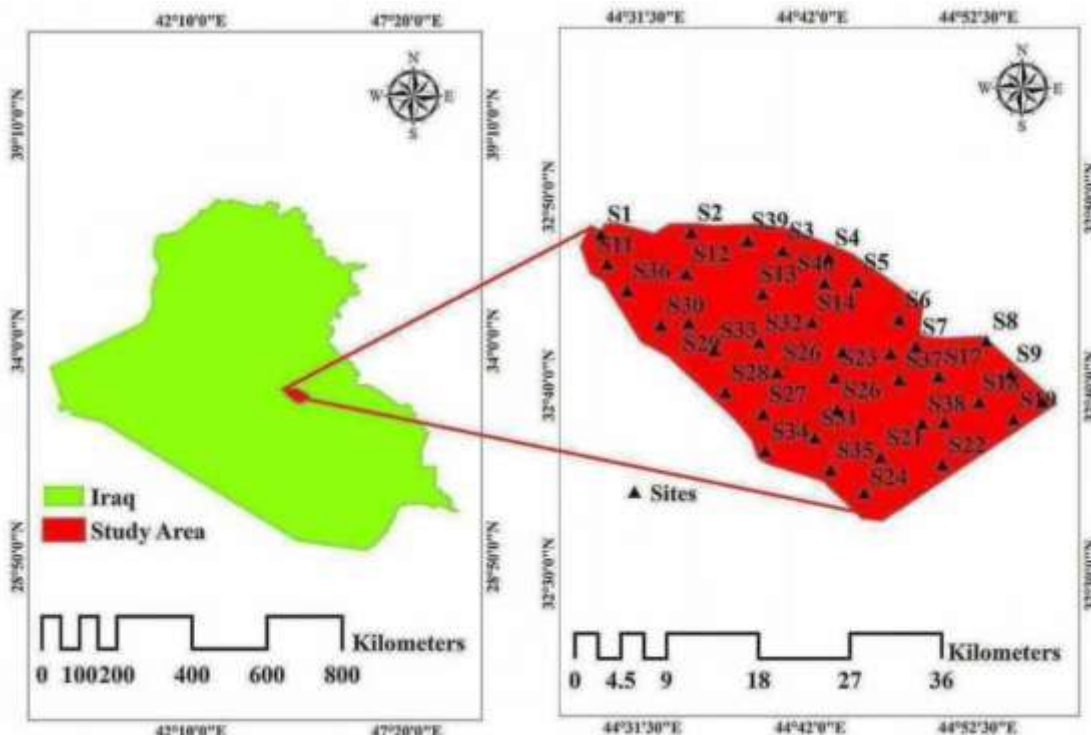
جمعت عينات التربة من ناحية الكوثر(جبلة) شمال محافظة بابل وسط العراق ضمن مشروع المسح الكبير، اذ تبلغ

المقدمة

اشارت منظمة F.A.O ، 2011 الى ان 60 - 70% من ترب وسط و جنوب العراق متأثرة بدرجة خطيرة بعمليات تراكم الاملاح و ان 20 – 30% من الترب المتبقية متأثرة بدرجات متفاوتة بعمليات التراكم الملحي و ان كافة الترب الزراعية مهددة بالتدحرج الملحي و الصودي . و بين Seilsepour و اخرون، 2009 ان تأثير الترب بعمليات التراكم الملحي يحدث عندما تزيد الاصالية الكهربائية عن 4 ديسمنتر.م⁻¹ و ان التأثير بالصودية يحدث عندما تزيد نسبة الصوديوم الممتر في التربة عن 12 و ترتفع النسبة المئوية للصوديوم المتبادل عن 15% . يمكن تشخيص مدى تأثير الترب بعمليات التل محل و الصودية باستخدام معادلة التنبؤ المكاني ضمن برامجيات نظم المعلومات الجغرافية و باسلوب Kriging ، اذ ان تظاهر الجهود الحقلية و المختبرية يسهم بفاعلية في اعداد خرائط عالية الدقة لملوحة و صودية التربة (Zare-Mehrjardi) و اخرون ، 2010) . كما استخدم Darwish و اخرون ، 2014 التنبؤ المكاني باسلوب Kriging في تشخيص الترب المتأثرة بالصودية و عد نسبة الصوديوم الممتر في التربة و النسبة المئوية للصوديوم المتبادل دلائل هامة لرصد صودية التربة . و اعتن Panagopoulos و اخرون، 2015 اسلوب Kriging

موقعها باستخدام جهاز GPS وفقاً لـ Lark ، 2009 و كما موضح في الشكل (1) :

مساحتها 70258.23 هكتاراً ، يقع ثمانية و ثلاثين عينة للعمق 0-30سم و للفترة من 1/3/2013 - 7/3/2013 . و حدث



الشكل(1): موقع منطقة الدراسة ضمن العراق و توزيع مواقع العينات فيها .

و قدر السعة التبادلية الكاتيونية (CEC) وفقاً لـ Papanicolaou، 1976 الخاصة بالترسب الجبسي والكلسي، كما استخلص ايون الصوديوم المتبادل (exch. Na⁺) باستخدام خلات الامونيوم (N_{H4}Cl)، ثم قدر تركيزها باستخدام جهاز فياس العناصر باللهب Flame photometer وفقاً لـ Page وآخرون، 1982، ثم احتسبت النسبة المئوية للصوديوم المتبادل في التربة بتطبيق المعادلة (2) :

٢. التحاليل المختبرية

يبين الجدول (1) صفات التربة المقاسة مختبرياً ، اذ قدرت الایصالية الكهربائية و درجة تفاعل التربة في المستخلص 1:1 بجهاز EC meter و pH meter وفقاً لـ Page و اخرون 1982، كما استخدم نفس المستخلص وفقاً لـ Richards، 1954 لتقدير الصوديوم الذائب و باستخدام جهاز Flame photometer ، كما قدر الكالسيوم و المغنيسيوم الذائبين

$$\text{SAR} = \frac{\text{Na}}{\sqrt{\frac{(\text{Ca} + \text{Mg})}{2}}} \dots \dots \dots [1]$$

جدول(1) : يبين نتائج التحاليل المختبرية لكل موقع في منطقة الدراسة.

Samples	pH _{1:1}	dS.m ⁻¹	m.molc.L ⁻¹			SAR	cmolc. Kg ⁻¹		ESP%
		EC _{1:1}	Ca	Mg	Na		exch.Na	CEC	
S1	7.25	3.05	20.13	3.34	6.75	1.97	2.66	19.98	13.31
S2	7.5	9.47	28.48	33.51	31.4	5.64	7.36	21.80	33.76
S3	7.87	49.88	81.01	223.44	190.46	15.44	14.25	24.46	58.26
S4	7.83	41.54	70.17	184.24	156.16	13.85	13.50	24.16	55.88
S5	7.89	56.15	89.16	252.91	217.24	16.61	14.75	24.64	59.86
S6	7.89	55.47	88.28	249.71	212.38	16.34	14.70	24.63	59.68
S7	7.72	25.33	49.10	108.05	92.3	10.41	11.44	23.37	48.95
S8	7.93	65.80	101.71	298.26	255.45	18.06	15.40	24.90	61.85
S9	7.7	22.96	46.02	96.91	83.2	9.84	11.04	23.21	47.57
S10	7.82	40.99	69.46	181.65	154.03	13.75	13.44	24.14	55.68
S11	7.25	3.11	20.21	3.62	6.98	2.02	2.74	20.02	13.69
S12	7.28	3.50	20.72	5.45	8.48	2.34	3.23	20.20	15.99
S13	7.24	2.96	20.02	2.91	6.4	1.89	2.53	19.94	12.69
S14	7.68	21.80	44.51	91.46	78.75	9.55	10.82	23.13	46.78
S15	7.54	11.19	30.72	41.59	38.01	6.32	8.05	22.06	36.49
S16	7.26	3.23	20.37	4.18	7.44	2.12	2.90	20.08	14.44
S17	7.88	53.57	85.81	240.78	204.93	16.04	14.55	24.57	59.22
S18	7.29	3.60	20.85	5.92	8.86	2.42	3.35	20.25	16.54
S19	7.79	35.79	62.70	157.21	133.85	12.76	12.88	23.92	53.85
S20	7.88	52.65	84.61	236.46	201.32	15.89	14.48	24.54	59.01
S21	7.86	49.45	80.45	221.42	186.85	15.21	14.22	24.44	58.18
S22	7.76	30.72	56.11	133.38	113	11.61	12.24	23.68	51.69
S23	7.91	60.10	94.30	271.47	232.88	17.22	15.03	24.75	60.73
S24	7.77	31.68	57.35	137.90	116.69	11.81	12.37	23.73	52.13
S25	7.92	63.77	99.07	288.72	247.41	17.77	15.27	24.85	61.45
S26	7.86	48.69	79.47	217.84	183.9	15.08	14.15	24.42	57.94
S27	7.96	76.16	115.18	346.95	296.48	19.50	16.01	25.13	63.71
S28	7.89	54.77	87.37	246.42	209.63	16.23	14.64	24.61	59.49
S29	7.83	42.55	71.48	188.99	160.08	14.03	13.60	24.20	56.20
S30	7.47	8.33	27.00	28.15	27.02	5.15	6.83	21.59	31.64
S31	7.76	30.86	56.29	134.04	113.54	11.64	12.26	23.69	51.75
S32	7.95	73.73	112.02	335.53	286.85	19.18	15.88	25.08	63.32
S33	7.75	28.98	53.84	125.21	106.32	11.24	12.00	23.59	50.87
S34	7.24	2.95	20.00	2.87	6.36	1.88	2.52	19.93	12.64
S35	7.43	6.80	25.01	20.96	21.15	4.41	5.99	21.27	28.16
S36	7.95	72.69	110.67	330.64	282.73	19.03	15.82	25.06	63.13
S37	7.82	40.40	68.69	178.88	151.74	13.64	13.38	24.12	55.47
S38	7.71	24.62	48.18	104.71	89.58	10.25	11.32	23.33	48.52

الفرعية المتشعبة منها . و من هذا يتضح ضعف و عدم تجانس توزيع مياه الري في منطقة الدراسة مما زاد من فرص تأثير الترب عند نهايات شبكات الري بعمليات التراكم الملحى ، فضلاً عن ممارسات المزارعين غير الصائبة في عمدهم إلى زيادة عمق هذه القنوات في تلك الواقع مما ساعد أن تصبح شبكات الري مشابهة لعمل شبكات البزل مما رفع من تركيز الأملاح في مياه الري و التي عندما تضاف إلى التربة تزيد من ملوحتها (الوالئي 2013، .

ويظهر الشكل (4) ان اصناف الملوحة توزعت بواقع S1 2100.72 هكتار للصنف S0 و 2220.16 هكتار للصنف S1 اي ان مساحة الترب القابلة للزراعة تبلغ 4320.88 هكتار اي 6.15 % من المساحة الكلية لمنطقة الدراسة . في حين شغل الصنف S2 6049.23 هكتار اي 8.61 % من مساحة منطقة الدراسة و الذي يمثل حالة خطرة في بدء تسارع التملح اذا لم تستصلاح التربة عند هذا الصنف ، اما الاصناف S3 و S4 و S5 فشغلت 11220.24 و 40033.14 و 8634.74 هكتار على التوالي اي 85.24 % من مساحة منطقة الدراسة و التي تؤشر حالة التدهور الملحى العالية في هذه المنطقة الزراعية الهامة في محافظة بابل . و تتفق هذه النتيجة مع ما توصل اليه طه و اخرون 2014 اذ بلغت المنطقة الزراعية غير المتدهورة في الاجزاء الشرقية من محافظة بابل بحدود 11.05 % في حين بلغت الترب المتدهورة ملحاً بحدود 51.60 % و النسبة المتبقية تمثل الترب التي تتسارع فيها عمليات التراكم الملحى . و عليه فان ان التحري المستمر عن ملوحة التربة مهم في بيان مدى الحيز و المساحة التي تغطيها اصناف ملوحة التربة لزيادةوعي و الحد من اتساعها او المحافظة على المساحات الزراعية المتبقية دون تدهورها Nezami و Alipour (2012) .

3.معادلة التنبؤ المكاني :

تم اجراء التحليل المكاني وفقاً لمعادلة التنبؤ المكاني Ordinary Variogram وفقاً للمعادلة الخطية (3) و باسلوب Kriging ضمن برنامج Arc Map نسخة Esri ، 2013 و كالتالي :

$$2 \gamma(h) = \frac{1}{n(h)} \sum_{i=1}^{n(h)} [Z(x_i) - Z(x_i + h)]^2 \dots [3]$$

اذ ان x_i متغير ما يبتعد عن المتغير $x_i + h$ بزاوية مكانية مقدارها h (Lichtenstern ، 2013) ، ثم اختبرت دقة تنفيذ المعادلة (3) بقياس درجة الانحدار الخطي بين القيم المستخلصة من الخارطة المنفذة و صفات التربة المقاسة مختبرياً Actual Value ضمن برنامج Microsoft Excel الاصدار 2010 .

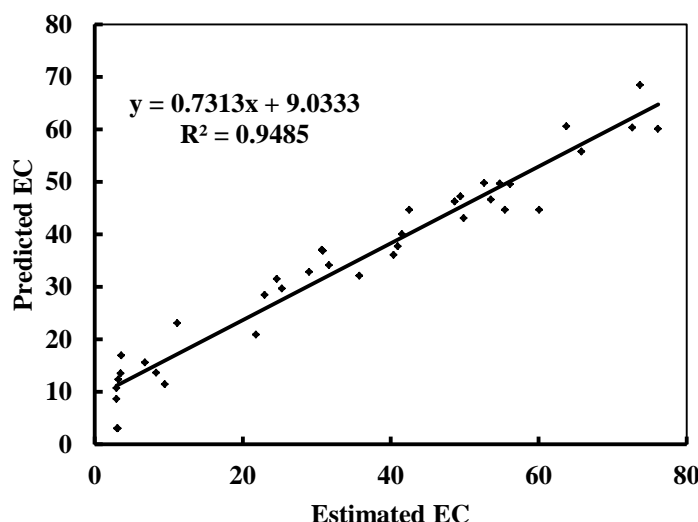
4.اصناف خرائط صفات التربة

صنفت خارطة ملوحة التربة وفقاً لـ S O L R 1982، SAR و ESP% و Seilsepour 2009 ، اخرون .

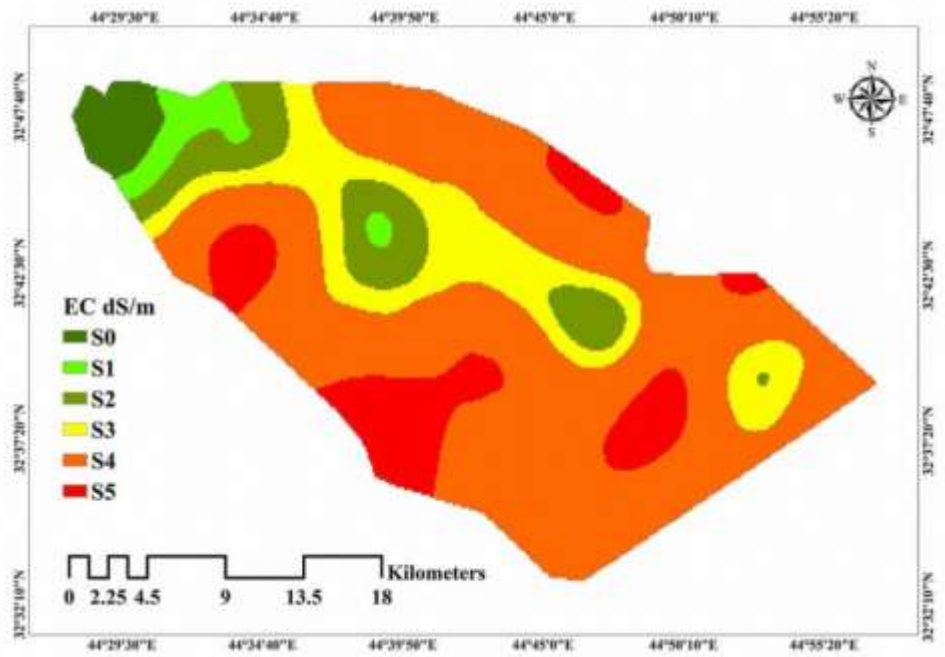
النتائج و المناقشة

1.خارطة ملوحة التربة

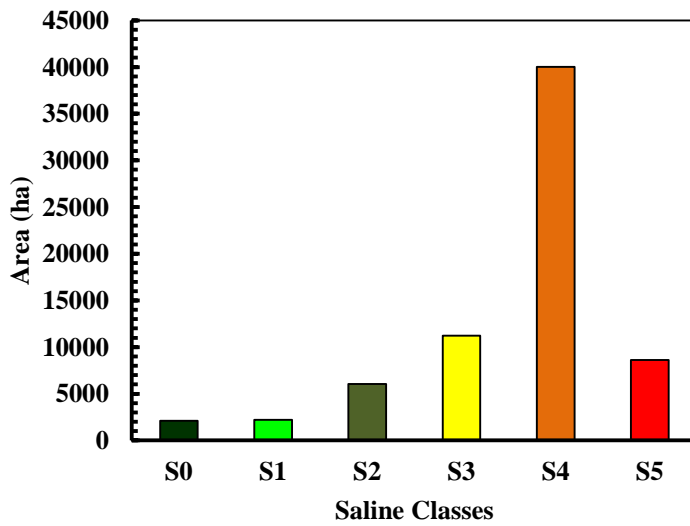
يظهر الشكل (2) ان دقة التنبؤ المكاني في توزيع اصناف ملوحة التربة بلغت 0.9485 . كما يظهر الشكل (3) وجود الصنفين S0 و S1 و اللذان يمثلان الترب الملائمة للزراعة في شمال و وسط منطقة الدراسة و هي مناطق القناة الرئيسية لمشروع المسبب التي تأتي تغذيتها المائية من نهر الفرات ، فضلاً عن القنوات الثانوية و



الشكل(2): يوضح دقة الموديل التنبؤي في بيان توزيع اصناف ملوحة التربة في منطقة الدراسة .



الشكل(3): يوضح توزيع اصناف ملوحة التربة في منطقة الدراسة .



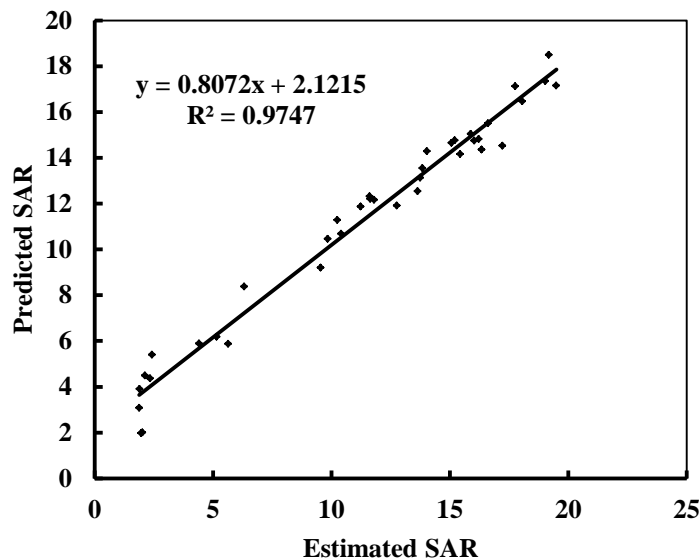
الشكل(4): يوضح مساحات اصناف ملوحة التربة في منطقة الدراسة .

بداية ووسط منطقة الدراسة في حين ت分布式 الترب ذات نسبة الامتاز الاعلى من 12 قرب نهايات قنوات الري و المبازل و هذا التوزيع المكاني يتافق مع ما توصل اليه Darwish و اخرون ، 2014 ان سوء ادارة الري او الارواء بمياه مخلوطة او بديلة ، فضلاً عن عدم توفر نظام مقفل للبزل يؤدي الى زيادة مساحات الترب ذات نسبة امتاز الصوديوم الاعلى من 12 و الذي يرافقه تدهور كيميائي مع ضعف بناء التربة .

2. خرائط صودية التربة

أ. خارطة نسبة امتاز الصوديوم في التربة

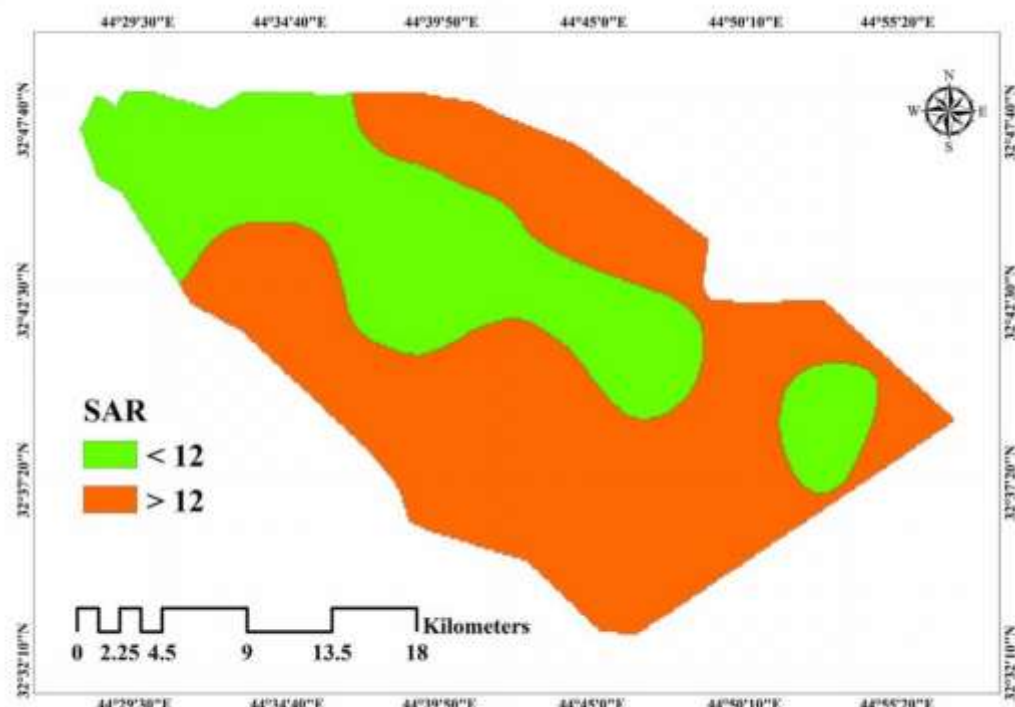
يظهر الشكل (5) ان دقة التنبؤ المكاني في تشخيص الترب المتأثرة بامتاز الصوديوم بلغت 0.9747 . كما يظهر الشكل (6) ان الترب ذات نسبة امتاز الصوديوم الاقل من 12 انتظمت مع موقع مجاري قنوات الري الرئيسية و الفرعية في



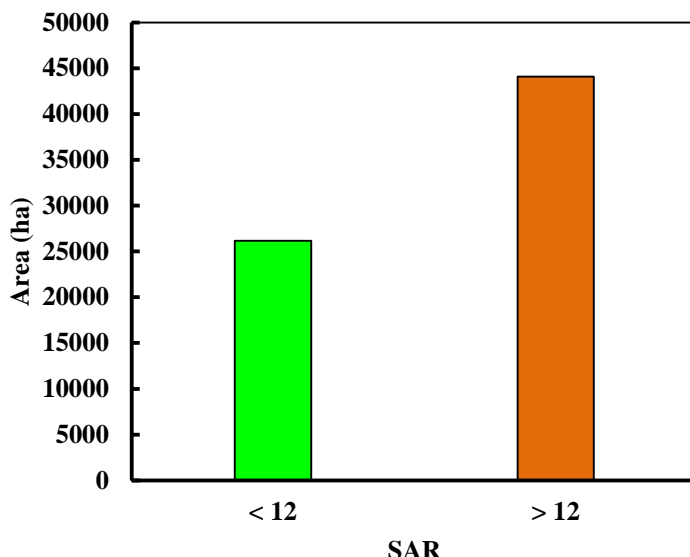
الشكل(5): يوضح دقة الموديل التنبؤي في تشخيص الترب المتأثرة بامتزاز الصوديوم في منطقة الدراسة .

الصوديوم نسبة 41.14 % من مساحة منطقة الدراسة و عد ترب لا يمكن زراعتها بالمحاصيل الاقتصادية و ان التوزيع المكاني لهذه المساحة المتدحورة هو نتيجة حتمية كون معظم هذه المناطق غير مزروعة لفترات زمنية طويلة ، فضلاً عن كونها بعيدة عن مصادر الارواه الرئيسية ذات الملائمة للارواء .

يلاحظ من الشكل (7) ان 26178.22 هكتار اي 37.26% من مساحة منطقة الدراسة ذات نسبة امتزاز للصوديوم اقل من 12 في حين شغلت الترب ذات نسبة امتزاز الصوديوم الاعلى من 12 44080.014 هكتاراً اي ان 62.74% من ترب منطقة الدراسة متأثرة بالصوديوم و هذه النتيجة تتفق مع ما توصل اليه طه و اخرون ، 2014 ، اذ شغلت الترب المتأثرة بامتزاز



الشكل(6): يوضح توزيع الترب المتأثرة بامتزاز الصوديوم في منطقة الدراسة .

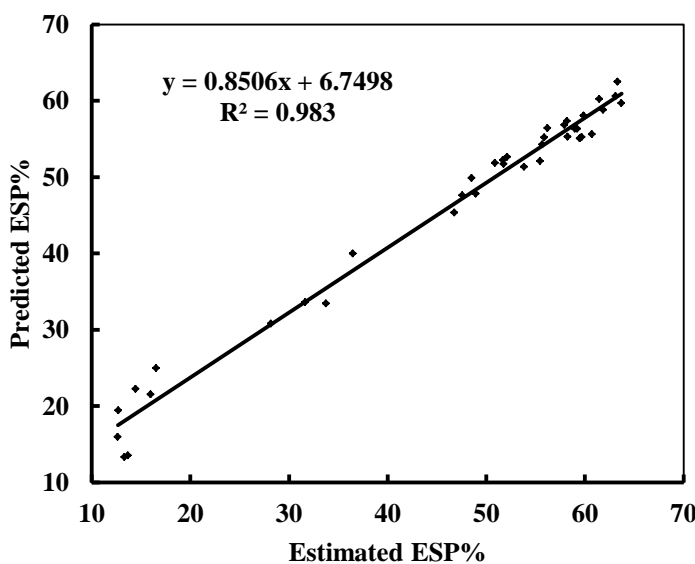


الشكل(7): يوضح مساحات الترب المتأثرة بامتاز الصوديوم في منطقة الدراسة .

الا ان انخفاض كمية التجهيز و سوء ادارة موردي التربة و المياه ادى الى استخدام المزارعين لمصادر بديلة للمياه و التي تتضمن خلط مياه الري في المبازل المجمعة ذات الملوحة و التركيز المرتفع في الصوديوم مما اسهم في اتساع رقعة الترب التي ترتفع فيها النسبة المئوية للصوديوم المتبدال عن 15 %. ان هذا التباين في التوزيع المكاني يتافق مع ما توصل اليه طه و اخرون ، 2014.

ب. خارطة النسبة المئوية للصوديوم المتبدال

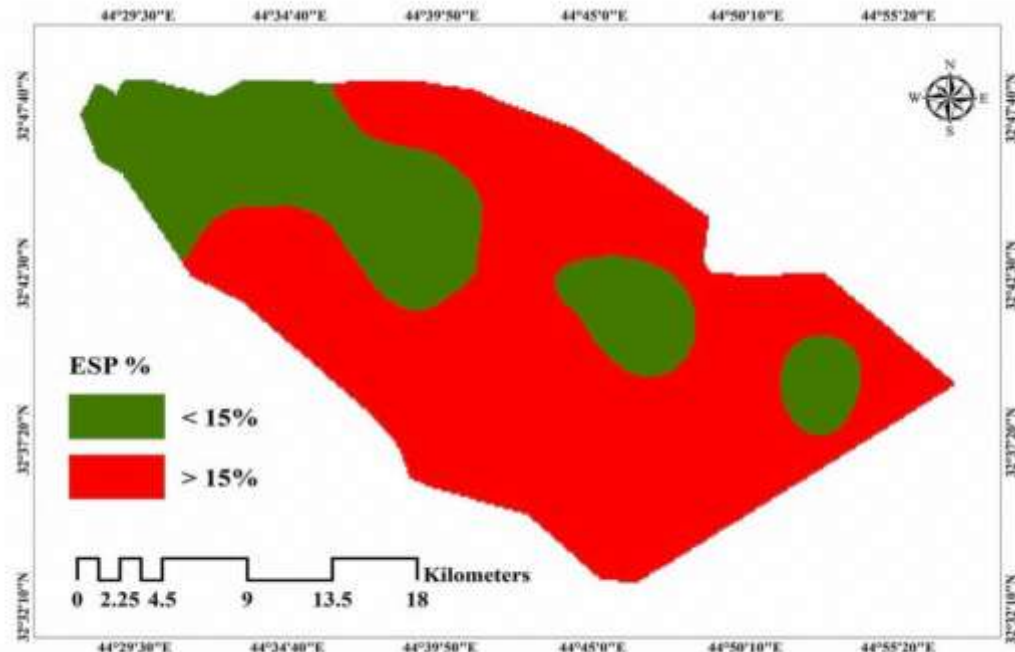
يظهر الشكل (8) ان دقة التنبؤ المكانى في تشخيص الترب المتأثرة بالصوديوم المتبدال بلغت 0.983 . كما يظهر الشكل (9) انخفاض النسبة المئوية للصوديوم المتبدال عن 15 % في بداية و وسط منطقة الدراسة لما تمتاز به من توفر للمياه ذات الملائمة الجيدة للري و القادمة من نهر الفرات عبر قناته المسبب ،



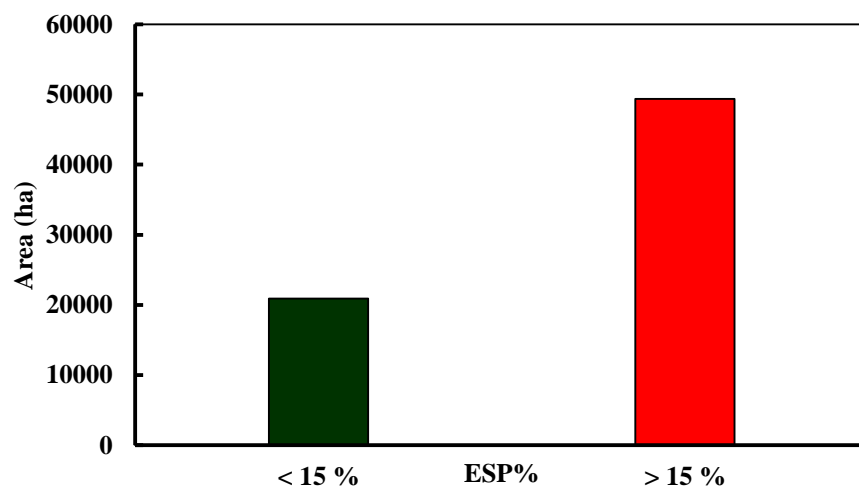
الشكل(8): يوضح دقة الموديل التنبؤي في تشخيص الترب المتأثرة بالصوديوم المتبدال في منطقة الدراسة .

يرافق مخاطر عمليات التراكم الملحي في وسط العراق و خاصة في ترب محافظة بابل . كما اكد Lehman و اخرون ، 2015 على ان النسبة المئوية للصوديوم المتبدال تعد من ابرز مؤشرات تدهور التربة لما تسببه من ضعف و تحطيم لجتماعات التربة و بالتالي انخفاض المسامية و اعاقة غسل التربة و هي مؤشر اساسي لضعف ادارة التربة و دليل على اهمال هذا المورد الاقتصادي الهام و تعجيل فنده كثرة وطنية مهددة بالضياع الدائم .

يلاحظ من الشكل (10) ان 20900.19 هكتار اي 29.75% من مساحة منطقة الدراسة هي ترب تتخلص فيها النسبة المئوية للصوديوم المتبدال عن 15% في حين شغلت الترب التي تزيد فيها النسبة المئوية للصوديوم المتبدال عن 15% 49358.04 هكتار اي ان 70.25% من مساحة منطقة الدراسة تحت خطر الصودية و هذه النتيجة تتفق مع ما توصل اليه طه و اخرون ، 2015 ، اذ بلغت الترب المتأثرة بالنسبة المئوية للصوديوم المتبدال 88.69% مما يؤشر خطر الصودية الذي



الشكل(9): يوضح توزيع الترب المتأثرة بالصوديوم المتبدال في منطقة الدراسة .



الشكل(10): يوضح مساحات الترب المتأثرة بالصوديوم المتبدال في منطقة الدراسة .

2. اتباع اساليب غير صحيحة من قبل المزارعين في ادارة موردي التربة و المياه في منطقة الدراسة.

لذا توصي هذه الدراسة بالتوسيع في تأهيل و توظيف كوادر زراعية ارشادية قادرة على اعداد خرائط تتوضح مخاطر الملوحة والصودية في التربة للمزارعين .

Journal of Soil Science and Environmental Management . 3(2) : 36 – 41 .

Page , A.L., R.H. Miller, and D.R. Kenney.

(1982). Methods of Soil Analysis Part (2). 2nd ed. Agronomy 9 Am. Soc. Agron. Madison, Wisconsin.

Panagopoulos , T . , J . D . Jesus and J . Ben-Asher . 2015 . Tools for Optimizing Management of a Spatially Variable Organic Field . Agronomy . 5: 89-106.

Papanicolaou, E.P. 1976.Determination of cation exchange capacity of calcareous soils and their percent base saturation. Soil Sci. 121:65-71.

Richards, L.A. 1954. Diagnosis and improvement of saline and alkalin soils. U.S.D.A. Handbook No. 60.

S.O.L.R. 1982 . Specification for soil Survey and hydrological investigations in Iraq . State Organization for Land Reclamation . Baghdad . Iraq .

Seilsepour , M . , M . Rashidi and B. G. Khabbaz . 2009. Prediction of Soil Exchangeable Sodium Percentage Based on Soil Sodium Adsorption Ratio . American-Eurasian J. Agric. & Environ. Sci. 5(1): 1 – 4 .

Zare-Mehrjardi , M . , R . Taghizadeh-Mehrjardi and A . Akbarzadeh . 2010 . Evaluation of Geostatistical Techniques for Mapping Spatial Distribution of Soil PH, Salinity and Plant Cover Affected by Environmental Factors in Southern Iran . Not. Sci. Biol. 2 (4) : 92-103 .

الاستنتاجات والتوصيات

توصلت هذه الدراسة الى الاتي :

1. اتجاه مساحات كبيرة من ترب منطقة الدراسة الى التدهور الملحي و الصودي .

المصادر

الوائلي ، اوراس محي طه بي . 2013 . تشخيص الترب المتأثرة بالملوحة في مشروع المسيب . اطروحة دكتوراه ، كلية الزراعة ، جامعة بغداد .

طه ، اوراس محي و سعد شاكر محمود و ايهاه كريم عبيد . 2014 . تشخيص التدهور الملحي من الصفات الكيميائية للترابة الصودية و غير الصودية وبيانات التحسس النائي . مجلة القadesia للعلوم الزراعية .2(4) : 67 – 81 .

طه ، اوراس محي و صفا مهدي عبد الكاظم و سامر محي طه . 2015 . اعداد خرائط لمؤشرات التدهور الكيميائي في التربة باستخدام التباين المكانى الاعتيادى . مجلة الفرات للعلوم الزراعية العراقية .7(4) : تحت الطبع .

Darwish , K . H . M . , M . A . El-Bordiny and A.S. Salam . 2014 . Geospatial Analysis for Salinity Hazard Within a Semiarid Context . Intl. J. Water Resources and Arid Environ. 3(2): 96-107.

Esri. 2013. Manual of ArcGIS 10.2.1. California . USA.

F.A.O. 2011. Country pasture / forage resource profiles : Iraq . FAO , Rome , Italy . P.34 .

Lark, R.M .2009. Kriging a soil variable with a simple nonstationary variance model. J. Agric. Biol. Environ. Stat. 14: 301–321.

Lehman , R . M . , C. A. Cambardella , D. E. Stott , V. Acosta-Martinez , D. K. Manter , J. S. Buyer , J. E. Maul , J. L. Smith , H. P. Collins , J. J. Halvorson , R. J. Kremer , J. G. Lundgren , T. F. Ducey, V. L. Jin and D. L. Karlen . 2015 . Understanding and Enhancing Soil Biological Health : The Solution for Reversing Soil Degradation . Sustainability . 7: 988-1027.

Lichtenstern , A . 2013 . Kriging methods in spatial statistics . Technics University Munich . Department of Mathematics . Bachelor's Thesis .

Nezami , M . T . and Z . T . Alipour . 2012 . Preparing of the soil salinity map using geostatistics method in the Qazvin Plain .